

# 肺部低剂量螺旋CT扫描的放射剂量评估

• 影像技术学 •

李真林 杨志刚 余建群 易凤群

**【摘要】** 目的: 评价肺部低剂量与常规剂量螺旋CT扫描的X线放射剂量比, 为低剂量螺旋CT普查早期肺癌提供扫描参数。方法: 将80例的健康者自愿随机等分成2组, 40例行肺部低剂量螺旋CT扫描; 40例行常规剂量螺旋CT扫描; 扫描范围从肺尖至肺底。从CT扫描序列设定栏上, 分别记录2种扫描方式的权重CT剂量指数(CTDIw)、扫描长度、总扫描时间; 最后计算出2种扫描方法的平均剂量长度乘积(DLP)、毫安秒及X线放射剂量。结果: 肺部低剂量扫描的权重剂量指数为2.9mGY, 是常规剂量扫描(11.7mGY)的25%; 低剂量扫描的剂量长度乘积(DLP)为63.4mG Y·cm明显低于常规剂量扫描248mGY·cm( $P < 0.001$ ); 低剂量扫描的毫安秒为915mAs, 明显低于常规剂量扫描3521mAs( $P < 0.001$ ); 低剂量扫描的放射剂量为70.8mGY, 是常规剂量扫描(274.7mGY)的26%。讨论: 肺低剂量螺旋CT扫描的放射剂量是常规剂量扫描的26%, 适用于肺癌高危人群的早期普查。

**【关键词】** 肺癌; 低剂量CT; X线放射剂量; 普查

**【中图分类号】** R814.42; R734.2; R814.2 **【文献标识码】** A **【文章编号】** 1000-0313(2003)03-0202-02

**Low-dose helical CT in screening lung cancer: evaluation of radiation dosage** LI Zhenlin, YANG Zhigang, YU Jianqun, et al.  
Department of Radiology, Huaxi Hospital of Sichuan University, Chengdu 610041

**【Abstract】 Objective:** To evaluate the application of low-dose helical CT of chest compared with conventional helical CT, and to optimize its scanning technique. **Methods:** 80 healthy volunteers were randomized to undergo either the low-dose helical CT (50mA) ( $n=40$ ) or conventional helical CT (200mA) ( $n=40$ ) at the following parameters of 120kVP, 0.75s, 10mm collimation and pitch 1. The weighted CT dose index (CTDIw), dose-length product (DLP), milliamperes seconds (mAs) and radiation dose from the two scanning methods were calculated. **Results:** CTDIw was 2.9mGY for low-dose helical CT, and 11.7mGY for conventional helical CT, the ratio was 1:4. DLP (63.4mG Y·cm) of low-dose CT was lower than that of conventional CT (248mGY·cm) ( $P < 0.001$ ). The mAs (915mAs) of low-dose CT was smaller than that of conventional CT (3521mAs) ( $P < 0.001$ ). Mean radiation dose to chest was 70.8mGY for low-dose CT, and 274.7mGY for conventional CT. The former was 26% of the latter. **Conclusion:** The radiation dose to chest produced by low-dose helical CT is 26% of that of conventional helical CT. Low-dose CT can be recommended to the screening for lung cancer in high risk population.

**【Key words】** Lung cancer; Low dose CT; X-ray radiation dose; Screening

## 材料与方法

80例健康自愿者, 男46例, 女34例, 年龄36~78岁, 平均49岁。随机等分成2组, 分别行胸部低剂量和常规剂量螺旋CT扫描。

扫描前的准备: 嘴受检者去掉胸部的金属异物及饰物, 并行呼吸训练, 使其在扫描时能屏气。扫描参数: CT机型为西门子公司生产Somatom Plus 4。低剂量扫描参数为: 120kVp、50mA、 $360^\circ/0.75\text{s}$ 、层厚10mm、螺距1; 2种扫描方法均从胸廓入口至肺底平面。图像处理均采用Rec.7、Kernel AB50。CT图像分别用肺窗和纵隔窗拍摄, 肺窗窗宽1000HU, 窗位-700HU; 纵隔窗窗宽400HU, 窗位35HU。

西门子CT Plus 4提供有不同扫描参数下单次扫描的权重CT剂量指数(Weighted CT dose index, CTDIw)是标准头颅或体模单层上的平均剂量近似值(mGY)。记录2种不同扫描参数下的CTDIw、扫描长度及扫描总时间, 分别计算全肺扫描的剂量长度乘积(dose-length product, DLP)与复杂检查的标准头颅或体模有关, 单位是mG Y·cm、毫安秒和X线放射剂量等参数

值。

## 结 果

肺部螺旋CTDIw: 低剂量扫描为2.9mGY, 常规剂量扫描为11.7mGY, 两者之比为1:4; DLP: 低剂量扫描为63.4mG Y·cm, 常规剂量扫描为248mGY·cm( $P < 0.001$ ), 有明显差异。毫安秒: 低剂量扫描为915mAs, 常规剂量扫描为3521mAs( $P < 0.001$ ), 差异也较显著。X线放射剂量: 低剂量扫描为70.8mGY, 常规剂量扫描为274.7mGY( $P < 0.001$ ), 低剂量扫描是常规剂量的26%(表1)。

表1 肺部低剂量与常规剂量CT扫描的放射剂量比

| 参数           | 低剂量      | 常规剂量       | 低/常规剂量(%) | P值     |
|--------------|----------|------------|-----------|--------|
| CTDIw(mGY)   | 2.9±0    | 11.7±0     | 25        | <0.001 |
| 扫描长度(cm)     | 21.9±2.5 | 21.2±2.7   | 103       | >0.05  |
| DLP(mG Y·cm) | 63.4±7   | 248±31     | 25.6      | <0.001 |
| 扫描时间(s)      | 18.3±2.3 | 17.6±2     | 103.9     | >0.05  |
| 毫安秒(mAs)     | 915±114  | 3521±399   | 25.9      | <0.001 |
| 放射剂量(mGY)    | 70.8±8.8 | 274.7±31.1 | 25.5      | <0.001 |

\* 教育部留学回国人员基金资助(2002-247)

作者单位: 610041 成都, 四川大学华西医院放射科

作者简介: 李真林(1966~), 男, 四川人, 主管技师, 主要从事CT、MRI技术的研究。

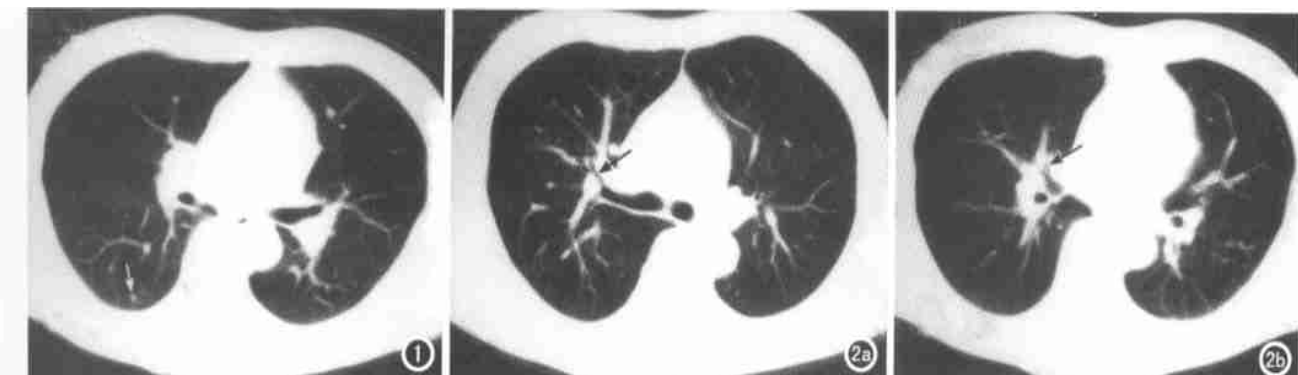


图 1 低剂量 CT 扫描显示 3mm 小结节(箭)。图 2 肺門区低剂量 CT 扫描。a) 右肺上叶前段支气管(箭); b) 右肺中叶内侧段支气管(箭)。

## 讨 论

### 1. 低剂量螺旋 CT 扫描对受检者的防护

CT 是一种辐射剂量相对较高的检查设备, 国际放射线防护委员会(ICRP)已推荐医用辐射剂量的约束概念。随着螺旋 CT 和多层螺旋 CT 的广泛应用, 参与 CT 检查的人数和次数相应增加, CT 已同公众的保健和医用 X 线辐射紧密联系在一起。肺部螺旋 CT DIw、DLP、毫安秒及 X 线放射剂量等表示。据报道, 欧洲的许多国家中, 大约 30% 的辐射累积剂量来自在诊断放射学的检查, 因而, 欧共体工作文件(1997 年)提出标准体型患者的参考值, 其胸部螺旋 CTDIw 是 27mGY, DLP 为 650mGY·cm<sup>[10]</sup>。本组低剂量(50mA) CT 扫描的 CTDIw 为 2.9mGY, DLP 为 63.4mGY·cm; 常规剂量(200mA)扫描的 CTDIw 为 11.7mGY, DLP 为 248mGY·cm。两者的 X 线辐射剂量值均符合欧共体工作文件对辐射剂量的要求, 且低剂量螺旋 CTDIw 是欧共体标准的 11%, DLP 仅为 10%。受检者行低剂量肺部螺旋 CT 检查接受的 X 线辐射量为常规剂量扫描的 26%, 利于对其防护。

### 2 低剂量螺旋 CT 扫描对 CT 球管的保护

X 线是由高速运行的电子流撞击阳极靶面后产生。CT 球管的寿命受曝光次数和每次曝光时毫安秒多少的制约。曝光次数多, CT 球管阳极靶面受撞击的次数多, 球管的受损几率大。扫描时使用的毫安秒高, 高速运行的电子流对靶的撞击面积增大, 球管受损几率及损害程度相应增加。曝光时间和次数相同, 高毫安秒扫描对 CT 球管的损害无疑大于低毫安秒扫描。螺旋 CT 机球管常处于高速旋转且扫描时持续曝光的状态, 一般都具有热容量限制。如果 CT 扫描时毫安秒过高, 可致 CT 球管的过热几率增加, 损耗加大, 从而加速球管的老化, 进而降低图像质量。本组资料显示相同肺部扫描长度(220mm), 低剂量(50mA)螺旋 CT 扫描的总毫安秒为 915mA, 常规剂量(200mA)扫描为 3521mA, 前者仅为后者的 26%。由于低剂量扫描总毫安秒减少, 扫描时 CT 球管发生过热的几率相应减小, 利于延长其寿命, 从而降低检查成本。

### 3 肺部低剂量螺旋 CT 扫描图像质量可满足诊断需要

近几年日本、美国等国家的研究报道<sup>[1-9]</sup>均证明低剂量螺旋 CT 是普查早期肺癌的最佳影像学方法。低剂量螺旋 CT 扫描

描是在满足肺部图像诊断质量的前提下, 尽可能降低 CT 扫描时 X 线放射剂量的一种检查方法。Zrewick 等<sup>[2-4]</sup>研究表明, 低剂量 CT 图像与常规剂量 CT 图像相比, 并未显著降低肺实质、弥漫性病变的图像质量, 可满足临床影像诊断。本组资料表明低剂量 CT 扫描未降低 CT 图像的信噪比和空间分辨率。它能检出 3mm 以上的肺部小病灶(图 1), 能清晰显示肺门各段支气管(图 2), 对肺部炎症、纵隔淋巴结以及冠状动脉钙化等能较好显示。因而用较低的 X 线剂量扫描肺部同样可获得满足临床诊断需要的 CT 图像。

## 参 考 文 献

- Naidich DP, Marshall CH, Gribbin C, et al. Low-dose CT of the lungs: preliminary observations[J]. Radiology, 1990, 178(3): 729-731.
- Zrewick CV, Mayo JR, Muller NL. Low-dose high-resolution CT of lung parenchyma[J]. Radiology, 1991, 180(2): 413-417.
- Lee KS, Primack SL, Staples CA, et al. Chronic infiltrative lung disease: comparison of diagnostic accuracies of radiography and low-and conventional-dose thin-section CT[J]. Radiology, 1994, 191(3): 669-673.
- Mayo JR, Hartman TE, Lee KS, et al. CT of the chest: minimal tube current required for good image quality with the least radiation dose[J]. AJR, 1995, 167(3): 603-607.
- Kaneko M, Eguchi K, Ohmatsu H, et al. Peripheral lung cancer: screening and detection with low-dose spiral CT versus radiography[J]. Radiology, 1996, 201(3): 798-802.
- Henschke CI, McCaughan DL, Yankelevitz DF, et al. Early lung cancer action project: overall design and findings from baseline screening[J]. Lancet, 1999, 354(10): 99-105.
- Sone S, Li F, Yang ZG, et al. Results of three-year mass screening programme for lung cancer using mobile low-dose spiral computed tomography scanner[J]. Br J Cancer, 2001, 84(1): 25-32.
- Yang ZG, Sone S, Li F, et al. Visibility of small peripheral lung cancers on chest radiographs: influence of densitometric parameters, CT values and tumor type[J]. Br J Radiol, 2001, 74(1): 32-41.
- Yang ZG, Sone S, Takashima S, et al. High-resolution CT analysis of small peripheral lung adenocarcinomas revealed on screening helical CT [J]. AJR, 2001, 176(6): 1399-1407.
- 燕树林. 放射诊断影像质量管理[M]. 浙江: 浙江科学技术出版社, 2001. 244-264.

(2002-07-26 收稿 2002-08-28 修回)